

Блок 1. Основные понятия квантовой механики.

1. Оператор Z – проекции момента количества движения есть: $-i\hbar \frac{\partial}{\partial \phi}$
2. Оператор импульса в квантовой механике есть: $-i\hbar \frac{\partial}{\partial x}$

alexandrows.narod.ru

3. Квадрат орбитального момента импульса частицы может быть равен $(\ell - \text{квантовое число орбитального момента импульса})$:

$$L^2 = \hbar^2 \ell(\ell + 1), \quad \ell = 0, 1, 2, 3, \dots \quad \psi(x) = \exp(ikx)$$

4. Собственные функции x -проекции оператора импульса есть

5. Собственные функции оператора кинетической энергии (одномерный случай) есть $\psi(x) = \exp(\pm ikx)$

6. Собственные функции оператора Z - проекции момента количества движения есть $\psi(\phi) = \exp(im\phi), \quad m = 0, \pm 1, \pm 2, \dots$

7. Одномерное стационарное уравнение Шрёдингера для частицы с массой m в потенциале $U(x)$ есть:

$$\text{alexandrows.narod.ru} \quad -\frac{\hbar^2}{2m} \frac{\partial^2 \psi(x)}{\partial x^2} + U(x)\psi(x) = E\psi(x)$$

8. Одномерное нестационарное уравнение Шрёдингера, описывающее движение частицы массой m в произвольном потенциальном поле $V(x, t)$ записывается в виде

$$i\hbar \frac{\partial \psi}{\partial t} = -\frac{\hbar^2}{2m} \frac{\partial^2 \psi(x, t)}{\partial x^2} + V(x, t)\psi(x, t)$$

9. Вектор плотности потока вероятности в квантовой механике для частицы с массой m есть, ($i = \sqrt{-1}$):

$$j = \frac{\hbar}{2mi} (\psi^* \nabla \psi - \psi \nabla \psi^*)$$

10. Плотность потока вероятности в случае одномерного свободного

движения частицы в положительном направлении оси x

$(\psi(x) = a \cdot \exp(ikx), a - \text{амплитуда плоской волны}, v = \hbar k / m - \text{скорость частицы})$ есть: $j = |a|^2 v$

alexandrows.

Блок 2. Стационарное уравнение Шредингера. Прямоугольная потенциальная яма.

1. В одномерной бесконечно глубокой прямоугольной потенциальной яме энергии стационарных состояний частицы с массой m равны (a – размер ямы, $n = 1, 2, 3, \dots$)

$$\frac{\pi^2 \hbar^2}{2ma^2} n^2$$

2. Частица находится в одномерной прямоугольной потенциальной яме шириной a и глубиной V_0 . Как изменится энергия основного состояния (в единицах E/V_0), отсчитываемая от дна потенциальной ямы, если ее глубина уменьшилась в четыре раза, а ширина удвоилась? **alexandrows.narod.ru** не изменится.

3. Частица находится в одномерной прямоугольной потенциальной яме бесконечной $V(x) = \begin{cases} \infty, & |x| \geq a/2, \\ 0, & |x| < a/2. \end{cases}$ в первом возбужденном состоянии. В каких пространственных точках плотность вероятности обнаружить частицу достигает максимального значения? $\pm a/4$

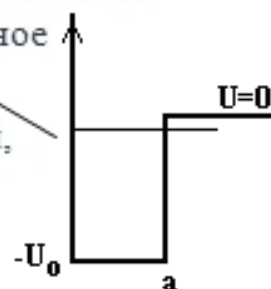
4. Частица находится в одномерной прямоугольной потенциальной яме бесконечной $V(x) = \begin{cases} \infty, & |x| \geq a/2, \\ 0, & |x| < a/2. \end{cases}$ в нижнем возбужденном состоянии с положительной четностью. В каких пространственных точках плотность вероятности обнаружить частицу достигает минимального значения? $\pm a/6, \pm a/2$

5. Электрон находится в одномерной бесконечно глубокой прямоугольной потенциальной яме $V(x) = \begin{cases} \infty, & |x| \geq a/2, \\ 0, & |x| < a/2. \end{cases}$ Найдите значение вероятности обнаружить частицу в интервале $(-a/4, a/2)$ в случае, если частица находится на уровне $n = 2$. $3/4$

6. Частица находится в одномерной симметричной глубокой прямоугольной потенциальной яме, содержащей более $N=100$ уровней: $V(x) = \begin{cases} V_0, & |x| \geq a/2, \\ 0, & |x| < a/2. \end{cases}$ Оцените значение вероятности обнаружить частицу в интервале $(-a/8, a/4)$ в случае, если частица находится на уровне $n = 4$. **alexandrows.narod.ru** $3/8$

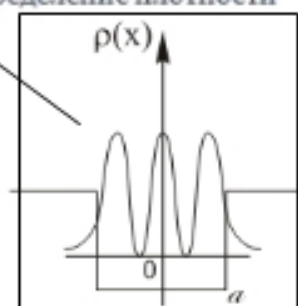
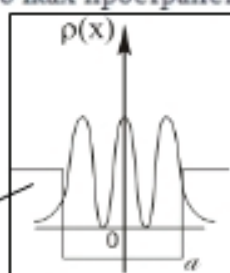
7. Частица в одномерной яме конечной глубины с бесконечно высокой стенкой занимает единственный слабосвязанный уровень (см. рис.) с известной энергией связи $E_{св} \ll U_0$. Определите (приближенно) наиболее вероятное значение координаты $x_{н.в.}$ в этом состоянии. $\approx a$

8. Частица массой m в одномерной яме с бесконечно высокой стенкой, содержащей $N = 100$ уровней, занимает нижний уровень энергии. Оцените энергию связи системы. $U_0 - \frac{\pi^2 \hbar^2}{2ma^2}$



9. Частица находится в одномерной прямоугольной потенциальной яме конечной глубины (ширина ямы a , начало координат в середине ямы), содержащей $N = 5$ в нижнем возбужденном состоянии с положительной четностью. Нарисовать пространственное распределение плотности вероятности обнаружить частицу в различных точках пространства.

alexandrows.narod.ru



10. Частица находится в одномерной прямоугольной потенциальной яме конечной глубины (ширина ямы a , начало координат в середине ямы), содержащей $N=3$ уровня, в связанном состоянии с максимальным значением энергии. Нарисовать пространственное распределение плотности вероятности обнаружить частицу в различных точках пространства.

Блок 3. Туннельный эффект

1. Вероятность P проникнуть сквозь высокий и широкий ($P \ll 1$) потенциальный барьер $U(x)$ ($U(x) \rightarrow 0$ при $x \rightarrow \pm\infty$, E – кинетическая энергия, x_1, x_2 – классические точки поворота, где $U(x_{1,2}) = E$) равна:

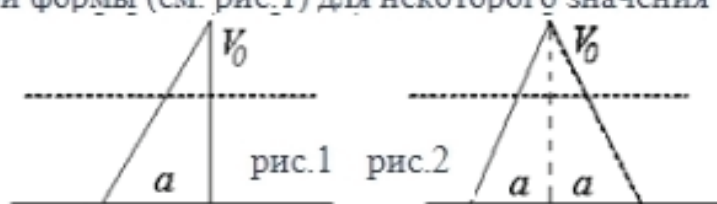
$$\exp \left[-\frac{2}{\hbar} \int_{x_1}^{x_2} \sqrt{2m(U(x) - E)} dx \right]$$

alexandrows.narod.ru

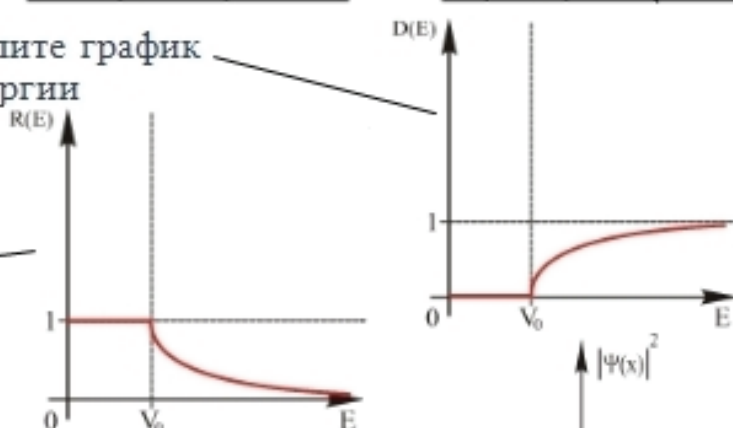
2. Вероятность туннелирования частиц с энергией E через прямоугольный потенциальный барьер шириной a и высотой V_0 ($E < V_0$) равна $T_0 \approx 10^{-4}$. Как изменится значение вероятности, если величина $(V_0 - E)$ уменьшится в четыре раза, а ширина барьера увеличится в два раза? | **не изменится.**

3. Вероятность туннелирования частиц с энергией E через прямоугольный потенциальный барьер шириной a и высотой V_0 ($E < V_0$) равна $T_0 \approx 10^{-4}$. Как изменится значение вероятности если величина $(V_0 - E)$ увеличится в четыре раза, а ширина барьера уменьшится в четыре раза? **возрастет примерно в 100 раз**

4. Прозрачность потенциального барьера треугольной формы (см. рис.1) для некоторого значения энергии налетающих частиц равна T ($T \ll 1$). Чему примерно равна прозрачность потенциального барьера, изображенного на рис.2? **T^2**



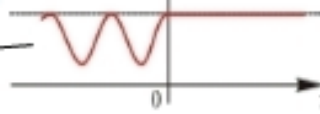
5. Поток частиц с энергией E налетает на потенциальную ступеньку высотой V_0 . Определите график зависимости коэффициента прохождения от энергии налетающих частиц.



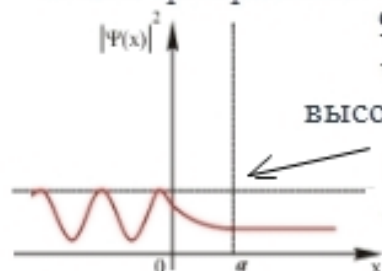
6. Поток частиц с энергией E налетает на ступеньку высотой V_0 . Определите график зависимости коэффициента отражения от энергии налетающих частиц.

alexandrows.narod.ru

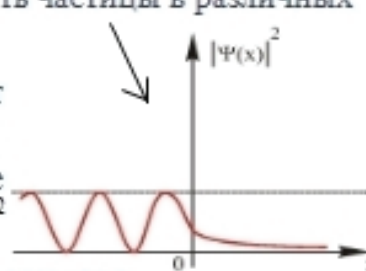
7. Поток частиц с энергией E налетает слева на потенциальную ступеньку высотой V_0 ($E > V_0$). Определите распределение плотности вероятности $|\psi(x)|^2$ обнаружить частицы в различных точках простр.



8. Поток частиц с энергией E налетает слева на потенциальную ступеньку высотой V_0 ($E < V_0$). Определите распределение плотности вероятности $|\psi(x)|^2$ обнаружить частицы в различных точках пространства.



9. Поток частиц с энергией E туннелирует через прямоугольный потенциальный барьер высотой V_0 и шириной a ($E < V_0$). Определите распределение плотности вероятности $|\psi(x)|^2$ обнаружить частицы в различных точках пространства.



alexandrows.narod.ru

10. Плотность тока холодной (автоэлектронной) эмиссии с проводника, к поверхности которого приложено постоянное электрическое поле с напряженностью ϵ , определяется выражением (ϵ_0 – некоторая константа)

$$j \sim \exp(-\epsilon_0/\epsilon)$$

Блок 4. Потенциал с центральной симметрией. Атом водорода. alexandrovvs.

1. Энергия электрона в водородоподобном ионе с зарядом Z равна ($n = 1, 2, 3, \dots$ - целое число)

$$\frac{\hbar^2}{m e^2} \quad \frac{Z^2 R_y}{n^2}$$

2. Боровский радиус a_0 равен :

$$2 \leftrightarrow n \quad (n > 2)$$
$$1 \leftrightarrow n \quad (n > 1)$$

3. Серия Балмера атома водорода излуч (погл) при переходах:

$$1 \leftrightarrow n \quad (n > 1)$$

4. Серия Лаймана атома водорода излуч (погл) при переходах:

ДВУХ КВАНТОВЫХ ЧИСЕЛ

5. Энергии стационарных состояний бесспиновой частицы в произвольном центрально симметричном потенциале зависят от :

6. В какой паре состояний энергии электрона в атоме водорода одинаковы (уровни вырождены) : релятивистские эффекты не учитывать :

$$2s \text{ и } 2p$$

7. Тонкое расщепление уровня m_ℓ атома водорода равно :

$$R_y \frac{\alpha^2 Z^4}{n^3} \frac{1}{\ell(\ell+1)}$$

8. Уровни атома водорода с заданным главным квантовым числом (с учетом релятивистских эффектов) вырождены по квантовому числу :

$$j$$

$$8$$

9. Кратность вырождения состояний электрона в кулоновском поле точечного заряда с главным квантовым числом $n = 2$ (без учета тонкой структуры с учетом спина) равна

10. Число компонент сверхтонкой структуры атомов водорода и дейтерия в основном состоянии (спины ядер $I_H = 1/2, I_D = 1$) равно

$$2:2:$$

Блок 5. Гармонический осциллятор.

1. Энергии стационарных состояний одномерного линейного квантового гармонического осциллятора с частотой ω ($n = 0, 1, 2, 3, \dots$) равны: $(n + \frac{1}{2}) \hbar\omega$
2. Энергии стационарных состояний трехмерного изотропного квантового гармонического осциллятора с частотой ω ($n = 0, 1, 2, 3, \dots$) равны: $(n + \frac{3}{2}) \hbar\omega$
3. Энергии стационарных состояний двумерного квантового гармонического осциллятора $V(x, y) = m\omega^2(x^2 + y^2)/2$ равны ($n = 0, 1, 2, 3, \dots$): $(n + 1)\hbar\omega$.
4. Характерный размер пространственной области локализации частицы, находящейся в основном состоянии в потенциале $V(x) = m\omega^2 x^2/2$ есть $\sqrt{\hbar/m\omega}$.
5. Характерный интервал возможных значений импульса частицы, находящейся в основном состоянии в потенциале $V(x) = m\omega^2 x^2/2$ есть $(\alpha - \text{ постоянная тонкая структура})$
6. Волновая функция нижнего возбужденного одномерного состояния гармонического осциллятора имеет вид $\psi(x)$
7. Волновая функция нижнего возбужденного состояния одномерного гармонического осциллятора с положительной четностью имеет вид $\psi(x)$
8. Волновая функция для состояния одномерного гармонического осциллятора с $n = 4$ имеет вид ($n = 0, 1, 2, 3, \dots$): $\psi(x)$
9. Плотность вероятности $|\psi(x)|^2$ обнаружить частицу в различных точках пространства для состояния одномерного гармонического осциллятора с $n = 5$ имеет вид ($n = 0, 1, 2, 3, \dots$): $|\psi(x)|^2$
10. Плотность вероятности $|\psi(x)|^2$ обнаружить частицу в различных точках пространства для нижнего возбужденного нечетного состояния одномерного гармонического осциллятора имеет вид: $|\psi(x)|^2$

alexandrows.narod.ru

alexandrows.narod.ru

Док 6. Момент количества движения.

alexandrow.s.petrod.ru

1. Волновая функция состояния некоторой квантовой системы, как функция азимутально угла, имеет вид (B - нормировочная константа) $\psi(\varphi) = B \cos 2\varphi$. Какие значения z -проекта момента количества движения L_z могут быть измерены в этом состоянии? $+ 2\hbar$

2. $\psi(\varphi) = B \sin 3\varphi$. $\pm 3\hbar$

3. $\psi(\varphi) = B(1 + \cos \varphi)$. _____

$0, \pm \hbar$

$+ 2\hbar$

4. $\psi(\varphi) = B(1 + \sin 2\varphi)$. $0, \pm 2\hbar$

5. $\psi(\varphi) = B \cos^2 \varphi$. $0, \pm 2\hbar$

$0, \pm \hbar$

6. При измерении L_z в некотором состоянии получили среднее значение $\langle L_z \rangle = 3\hbar/7$. Какая из функций

$\psi(\varphi) = \sqrt{4/7} \frac{1}{\sqrt{2\pi}} + \sqrt{3/7} \frac{\exp(i\varphi)}{\sqrt{2\pi}}$

описывает такое состояние системы?

8. $\langle L_z \rangle = -\hbar/2$. _____

7. $\langle L_z \rangle = \hbar/2$. $\psi(\varphi) = \sqrt{3/4} \frac{1}{\sqrt{2\pi}} + \sqrt{1/4} \frac{\exp(2i\varphi)}{\sqrt{2\pi}}$

$\psi(\varphi) = \sqrt{1/2} \frac{\exp(i\varphi)}{\sqrt{2\pi}} + \sqrt{1/2} \frac{\exp(-2i\varphi)}{\sqrt{2\pi}}$

9. $\langle L_z \rangle = -4\hbar/5$. _____

10. $\langle L_z \rangle = 2\hbar$. _____

$\psi(\varphi) = \sqrt{1/3} \frac{1}{\sqrt{2\pi}} - \sqrt{2/3} \frac{\exp(3i\varphi)}{\sqrt{2\pi}}$

$\psi(\varphi) = \sqrt{1/5} \frac{1}{\sqrt{2\pi}} - \sqrt{4/5} \frac{\exp(-i\varphi)}{\sqrt{2\pi}}$

alexandrow.s.petrod.ru

Блок 7. Нестационарное уравнение Шредингера. **alexandrows.margod.ru**

1. Здесь $\phi_0(x)$ и $\phi_1(x)$ - волновые функции двух нижних стационарных состояний.

Определить среднее значение координаты частицы. $\langle x(t) \rangle = A \cos \omega t$

2. Определить дисперсию координаты частицы. $D_x = B + A \cos^2 \omega t$

3. Здесь $\phi_0(x)$ и $\phi_1(x)$ - волновые функции основного и второго возбужденного стационарных состояний. $D_x = B + A \cos 2\omega t$

4. Дисперсию координаты $x(t) = 0$ $D_x = B + A \cos 2\omega t$, среднее значение координаты

5. В бесконечно глубокой прямоугольной одномерной потенциальной яме шириной a $\psi(x, t = 0) = (\phi_1(x) + \phi_2(x)) / \sqrt{2}$. Как изменяется среднее значение координаты $\langle x(t) \rangle = 0$

6. Как изменяется во времени дисперсия координаты $D_x = B + A \cos \frac{E_3 - E_1}{\hbar} t$

7. среднее значение координаты частицы $\langle x(t) \rangle$ осциллирует с частотой $\omega = 3E_1 / \hbar$ (E_1 - энергия низшего уровня) дисперсия координаты $D_x(t)$?

$D_x = A + B \cos^2 \omega t$ **alexandrows.margod.ru**

8. $(U(-x) = U(x))$ потенциальная яма содержит всего три уровня. $\langle x(t) \rangle = 0$.

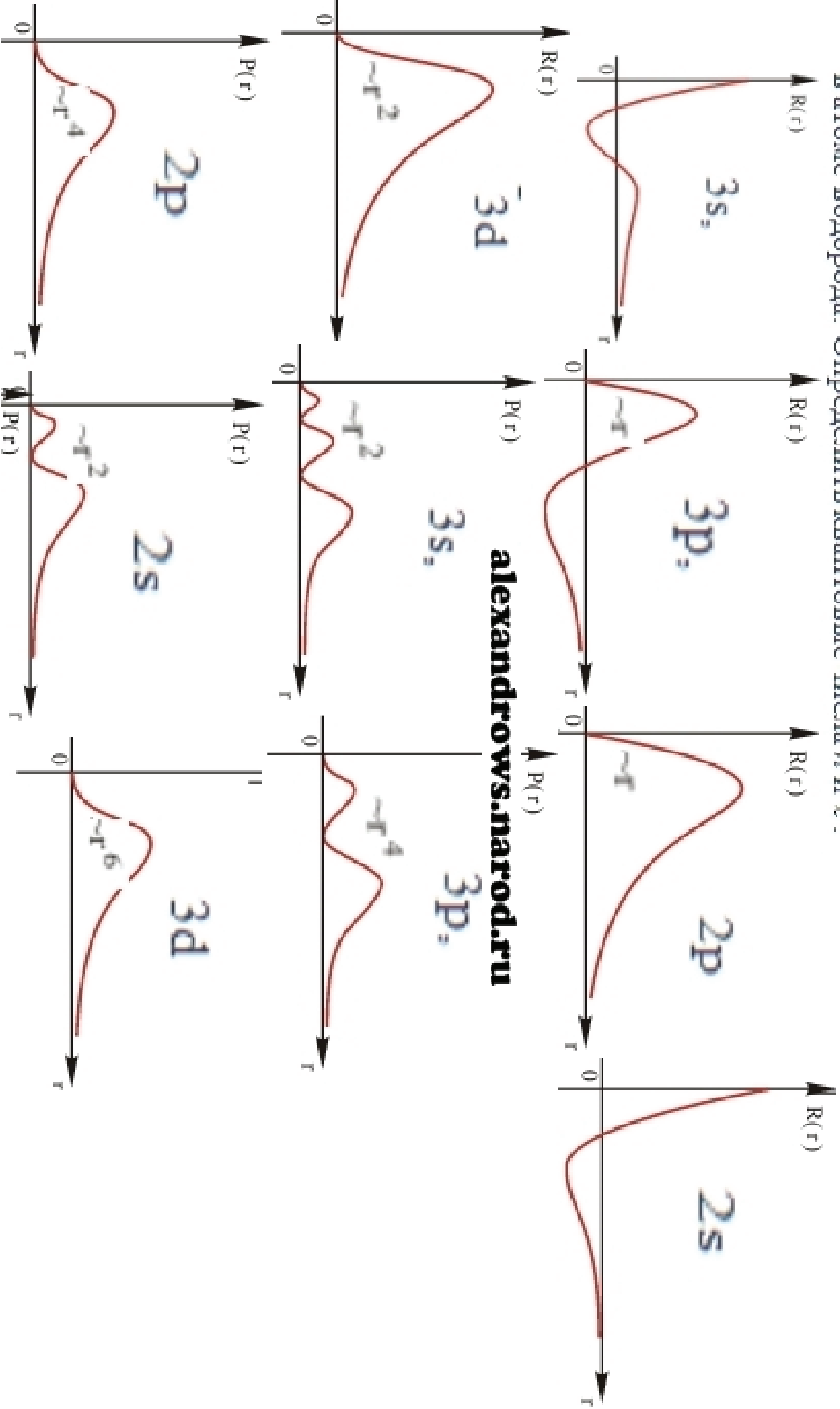
частотой может осциллировать величина $\langle x^2(t) \rangle$ $\omega = (E_3 - E_1) / \hbar$.

9. Все возможные частоты, осциллировать среднее значение координаты частицы $\langle x(t) \rangle$? $\omega_1 = (E_2 - E_1) / \hbar$, $\omega_2 = (E_3 - E_1) / \hbar$.

10. $\langle x(t) \rangle = 0$. Дисперсия координаты осциллирует $D_x = c_1 + c_2 \cos(\omega t)$; $\omega_{31} = (E_3 - E_1) / \hbar$.

Радiallyные волновые функции задачи Кеплера.

На рис. представлена радиальная волновая функция некоторого стационарного состояния электрона в атоме водорода. Определить квантовые числа n и ℓ .



Блок 9. Стационарные и нестационарные состояния в задаче Кеплера.

1. Какую минимальную энергию может иметь электрон в ионе He^+ , имеющий орбитальное квантовое число $\ell = 3$? **alexandrows.narod.ru** - Ry / 4

2. Каким может быть наибольшее значение орбитального квантового числа ℓ электрона в ионе He^+ в стационарном состоянии с энергией связи $Ry / 16$? 7 0.1

3. Не⁺ равна $E = -Ry$ возможные значения орбитального квантового числа ℓ ? - Ry / 9

4. Какую минимальную энергию может иметь в атоме водорода d – электрон? - Ry / 9

5. В сферической системе координат $\psi(r, \theta, \varphi) = 1/\sqrt{2} (\psi_{2,1,1} + \psi_{2,1,-1})$. E = -Ry / 4, L_z = ±ħ

6. $\psi(r, \theta, \varphi) = \left(\frac{1}{\sqrt{3}} \psi_{1,0,0} + \sqrt{\frac{2}{3}} \psi_{2,1,0} \right)$ **alexandrows.narod.ru** E = -Ry / 4, L_z = 0, ±ħ

$$E = -Ry, -Ry / 9, L_z = 0$$

8. $\psi(r, \theta, \varphi) = \left(\frac{1}{\sqrt{6}} \psi_{2,1,1} + \frac{1}{\sqrt{6}} \psi_{2,1,-1} + \sqrt{\frac{2}{3}} \psi_{2,0,0} \right)$ E = -Ry / 4, L_z = 0, ±ħ

9. Написать волновую функцию среднее значение энергии $-Ry / 2$. ψ(r) = 1/√3 ψ_{1s} - √(2/3) ψ_{2s}

10. $-Ry / 3$. ψ(r) = 1/3 ψ_{1s} - 2√2/3 ψ_{2p}

alexandrows.narod.ru

Определить кратность вырождения Блок 10. Вырождение

1. стационарных состояний свободной бесспиновой частицы (одномерный случай) с энергией $E \neq 0$ равна
2. нижнего возбужденного стационарного состояния в двумер изотропном гармонциллаторе $V = m\omega^2(x^2 + y^2)/2$
3. нижнего возбужденного в трехме $V = m\omega^2(x^2 + y^2 + z^2)/2$

alexandrow's парод.ru

4. основного в двумерном $V = m\omega^2(x^2 + y^2)/2$
5. основного в трехмерном
6. Бесспиновая частица центрально-симметричном потенц: $V(r) = V_0 \exp(-\alpha r) / r$ в p -состоянии
7. $V(r) = V_0 / \sqrt{r^2 + \alpha^2}$ в d -состоянии.
8. Электрон $V(r) = kr^2 / 2$ ($k > 0$) основном состоянии.
- 9 Электрон $V(r) = V_0 \exp(-\alpha r) / r$ в p -состоянии.
10. Электрон $V(r) = V_0 / \sqrt{r^2 + \alpha^2}$ в d -состоянии